

Projet : Un problème de tomographie discrète

MOGPL : MODÉLISATION ET OPTIMISATION PAR LES GRAPHS ET LA
PROGRAMMATION LINÉAIRE

REALISÉ PAR
BECIRSPAHIC LUCAS
ET
ADOUM ROBERT

Contents

Contents	2
I. Raisonnement par programmation dynamique	3
1 - Première étape	3
II. La PLNE à la rescousse	5
1 - Modélisation	5
2 - Implantation et tests	6
III. Pour aller plus loin	9

I. Raisonnement par programmation dynamique

1 - Première étape

Question 1:

Si l'on a calculé tous les $T(j, l)$, pour savoir si il est possible de colorier la ligne l_i entière avec la séquence entière il suffit de regarder $T(m - 1, k)$, si ce dernier vaut vrai alors il est possible de colorier la ligne entière avec la séquence entière. Si il vaut faux alors ce n'est pas possible.

Question 2:

- Cas $l = 0, j \in \{0, \dots, m - 1\}$: Vrai
justification : Si il n'y a pas de bloc à poser, alors un coloriage est toujours possible.
- Cas $l \geq 1, j < s_l - 1$: Faux
justification : Si le nombre de cases dont on dispose est inférieur à la taille du bloc, on ne peut pas le poser donc faux.
- Cas $l \geq 1, j = s_l - 1$:
 - Si $l = 1$ alors Vrai
 - Si $l \neq 1$ alors Faux

justification : Si le bloc fait exactement la taille de nos cases, on regarde si il y a un unique bloc à poser. Si ce n'est pas le cas, on renvoi faux.

Question 3:

La relation de récurrence permettant de calculer $T(j, l)$ est la suivante:

$$T(j, l) = T(j - (s_l + 1), l - 1) \vee T(j - 1, l)$$

En effet si l'on se trouve à la case j qui est noir, et que l'on veut savoir si il est possible de colorier la sous séquence (s_1, \dots, s_l) il faut pouvoir colorier s_l case(s) et laisser une case de séparation entre les coloration de s_{l-1} et s_l , il faut donc regarder si l'on peut colorier la ligne de la case 0 à $j - s_l - 1$ avec la sous séquence (s_1, \dots, s_{l-1}) .

En revanche si la case j est blanche, il n'est pas possible de placer le bloc par conséquent on regarde si il est possible de placer la sequences sur les bloc précédents, ce qui s'exprimer par la formule : $T(j - 1, l)$

Question 5:

- 1) Dans le cas, ou l'on a pas de bloc, il faut vérifier qu'aucune case n'est coloriées.
- 2.a) Si il n'y a pas la place pour mettre un bloc, c'est toujours faux peu importe la ligne
- 2.b) Si $j = s_l - 1$ alors il faut vérifier que l'on peut poser le bloc, c'est à dire il n'y a pas de cases noires sur les cases considérées.
- 2.c)

- Si la première case est blanche, on ne peut pas poser le bloc par conséquent on regarde $T(j - 1, l)$
- Si la case j est noire, on regarde si on peut placer le bloc de manière correcte, c'est à dire pas de blanc sur l'emplacement et un blanc apres et avant pour s'assurer que les blocs son bien séparés.
- Si la case n'est pas encore colorié, on traite les deux cas de figures précédent et il suffit qu'un seul soit vrai pour que l'on considère $T(j, l)$ vrai.

Question 8:

instances	nbCases	time
0	20	0.00042200088501
1	25	0.000617027282715
2	400	0.117752075195
3	481	0.0961720943451
4	625	0.182909011841
5	675	0.199213027954
6	900	0.51091504097
7	1054	0.300116062164
8	1400	0.43498301506
9	2500	5.42304491997
10	9801	8.71296691895

Figure 0.1: Tableau représentant les résultats de la programmation dynamique

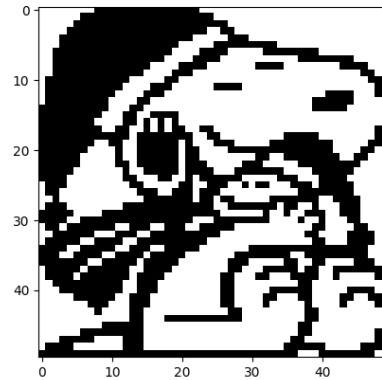


Figure 0.2: Grille de l'instance numéro 9

Question 9 En appliquant notre programme sur l'instance 11, on observe qu'en dépit de la petite taille de l'instance notre algorithme ne colorie rien. En effet quand une case peut être colorié à la fois en blanc et en noir notre algorithme ne fais rien. Si la couleur d'une case ne peut être déterminée de manière exacte grace aux contraintes elle ne sera pas colorié. Ce qui explique pourquoi notre algorithme ne colorie pas correctement l'instance 11.

Une solution à ce problème est d'implémenter un algorithme de backtracking qui une fois la coloration effectuée, observe toutes les cases non coloriées et leur affecte 0 et 1 arbitrairement puis on relance coloration avec la nouvelle grille. On réitère jusqu'à obtenir une grille complète (dans ce cas fin de l'algorithme) ou une grille insolvable. Si le grille ne peut pas être résolue, on retourne jusqu'à l'affectation la plus récente et on prend l'autre couleur. On notera que cette algorithme prend beaucoup plus de temps pour résoudre les grilles, une autre approche est d'utiliser la PLNE.

1. Initialisation : $A \leftarrow \text{coloration}(M)$
2. Tant que la grille n'est pas complète et que le nœud parent n'a pas testé toutes les couleurs:
 - a) Si $\text{coloration}(A) \neq \text{False}$:
Alors choisir arbitrairement une case incomplète c et lui attribuer une couleur
 - b) Si $\text{coloration}(A) == \text{False}$:
Alors en retourne à la grille précédente et on attribue l'autre couleur.
 - c) $A \leftarrow \text{coloration}(A)$

II. La PLNE à la rescousse

1 - Modélisation

Question 10:

- x_{ij} vaut 1 si la case (i, j) est coloriée en noir et 0 si coloriée en noir.
- y_{ij}^t vaut 1 si le t_{ieme} bloc de la ligne l_i commence à la case (i, j) et 0 sinon.
- z_{ij}^t vaut 1 si le t_{ieme} bloc de la colonne c_j commence à la case (i, j) et 0 sinon.

Par conséquent on a : $y_{ij}^t = 1 \Rightarrow \sum_{k=j}^{j+s_t-1} x_{ik} = s_t$

Et donc $\sum_{k=j}^{j+s_t-1} x_{ik} = y_{ij}^t \times s_t$

Par conséquent la condition est: $\sum_{k=j}^{j+s_t-1} x_{ik} \geq y_{ij}^t \times s_t$

Avec le même raisonnement on a pour les colonnes: $\sum_{k=i}^{i+s_t-1} x_{kj} \geq z_{ij}^t \times s_t$

Question 11:

On cherche à exprimer une contrainte qui empêche de poser un bloc $t+1$ avant que le bloc t

soit posé c'est à dire : $y_{ij}^t = 1 \Rightarrow \sum_{k=0}^{j+s_t} y_{ik}^{t+1} = 0$

et $y_{ij}^t = 0 \Rightarrow \sum_{k=j}^{j+s_t} y_{ik}^{t+1} \in \{0, 1\}$

Et donc la condition est: $y_{ij}^t + \sum_{k=0}^{j+s_t} y_{ik}^{t+1} \leq 1$

Avec le même raisonnement on a pour les colonnes: $z_{ij}^t + \sum_{k=0}^{i+s_t} z_{kj}^{t+1} \leq 1$

Question 12:

$$\begin{aligned} \text{Min } z = & \sum_{i=0, j=0}^{N, M} x_{i,j} \\ \text{s.c } & \left\{ \begin{aligned} & \sum_{k=j}^{j+s_t-1} x_{ik} \geq y_{ij}^t \times s_t \mid \forall i \in \{0, 1, 2, \dots, N-1\}, \forall t \in \{1, 2, \dots, k_i\} \\ & \sum_{k=i}^{i+s_t-1} x_{kj} \geq z_{ij}^t \times s_t \mid \forall j \in \{0, 1, 2, \dots, M-1\}, \forall t \in \{1, 2, \dots, k_j\} \\ & y_{ij}^t + \sum_{k=0}^{j+s_t} y_{ik}^{t+1} \leq 1 \mid \forall i \in \{0, 1, 2, \dots, N-1\}, \forall t \in \{1, 2, \dots, k_i-1\} \\ & z_{ij}^t + \sum_{k=0}^{i+s_t} z_{kj}^{t+1} \leq 1 \mid \forall j \in \{0, 1, 2, \dots, M-1\}, \forall t \in \{1, 2, \dots, k_j-1\} \\ & \sum_{j=0}^{M-1} y_{ij}^t = 1 \mid \forall i \in \{0, 1, 2, \dots, N-1\}, \forall t \in \{1, 2, \dots, k_i\} \\ & \sum_{i=0}^{N-1} z_{ij}^t = 1 \mid \forall j \in \{0, 1, 2, \dots, M-1\}, \forall t \in \{1, 2, \dots, k_j\} \\ & x_{ij} \in \{0, 1\} \mid \forall i \in \{0, 1, 2, \dots, N-1\}, \forall j \in \{0, 1, 2, \dots, M-1\} \\ & y_{ij}^t \in \{0, 1\} \mid \forall i \in \{0, 1, 2, \dots, N-1\}, \forall j \in \{0, 1, 2, \dots, M-1\}, \forall t \in \{1, 2, \dots, k_i\} \\ & z_{ij}^t \in \{0, 1\} \mid \forall i \in \{0, 1, 2, \dots, N-1\}, \forall j \in \{0, 1, 2, \dots, M-1\}, \forall t \in \{1, 2, \dots, k_j\} \end{aligned} \right. \end{aligned}$$

2 - Implantation et tests

Question 13:

(N'oublions pas que j commence à 0 et termine à M-1)

- Pour une ligne l_i le l^{ieme} bloc ne peut commencer avant la case $(i, \sum_{n=1}^{l-1} (s_n + 1))$, ni commencer

après la case $(i, M - s_l - \sum_{n=l+1}^{k_i} (s_n + 1))$

Question 14:

L'implantation du plne résout parfaitement l'instance 11:

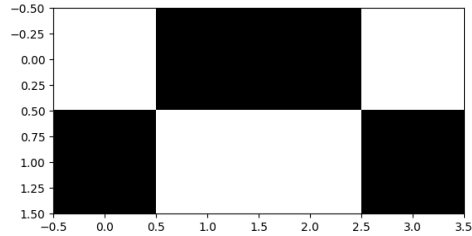


Figure 0.3: Grille de l'instance numero 11

Question 15:

instances	dynamique-time	plne-time	nombre de cases
0	0.0004119873046875	0.0007050037384033203	20
1	0.0004858970642089844	0.0012221336364746094	25
2	0.11206889152526855	2.4385571479797363	400
3	0.08992695808410645	0.10664486885070801	481
4	0.1614398956298828	9.278510093688965	625
5	0.19578003883361816	2.123404026031494	675
6	0.5122568607330322	120.54762291908264	900
7	0.3045821189880371	0.5048248767852783	1054
8	0.44316697120666504	1.1952688694000244	1400
9	5.620426177978516	timeout	2500
10	9.328194856643677	timeout	9801
11	0.0003771781921386719	0.0005419254302978516	8
12	0.8796999454498291	162.9039990901947	924
13	1.0365591049194336	2.343104124069214	2025
14	0.772252082824707	0.7354490756988525	1140
15	0.28334784507751465	18.160336017608643	900
16	0.7040119171142578	timeout	1750

Figure 0.4: Comparaison des temps pour les 2 méthodes

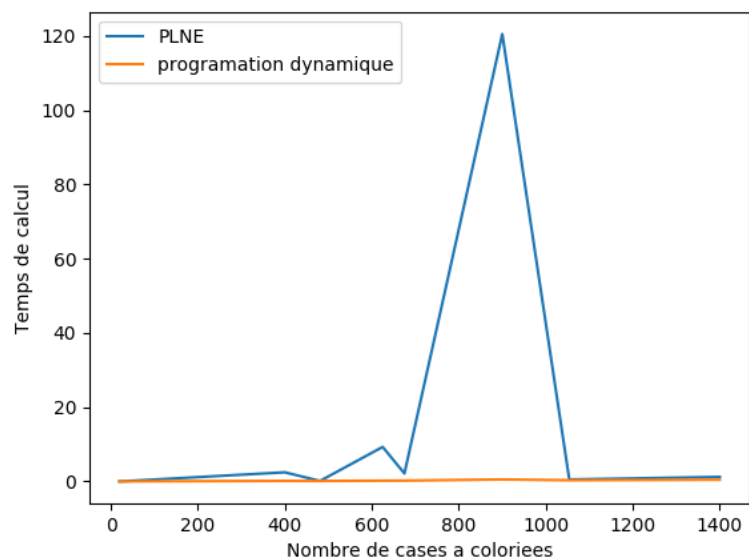


Figure 0.5: Comparaison des deux méthodes sur les 8 premières instances

Dans la figure 0.6, le gris correspond aux cases blanches, le noir aux cases noires et le blanc aux cases non déterminées

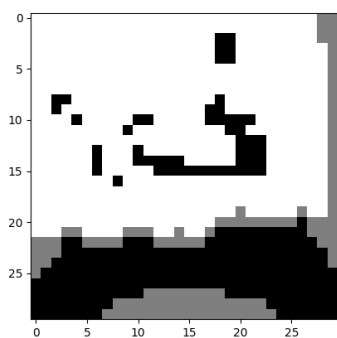


Figure 0.6: Images de l'instance 15 avec la programmation dynamique

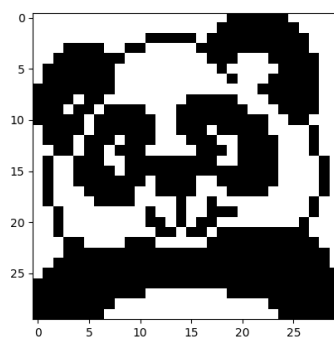


Figure 0.7: Image de l'instance 15 avec la PLNE

III. Pour aller plus loin

En implémentant la méthode qui consiste à commencer par la programmation dynamique puis la PLNE sur les cases non déterminées nous obtenons des meilleurs temps comme on peut le voir ci-dessous:

instances	plne-time	mix-time
11	0.000541925430298	0.00097918510437
12	162.90399909	1.08105015755
13	2.34310412407	1.3090941906
14	0.735449075699	0.824674129486
15	18.1603360176	7.86031389236
16	timeout	1650.86029291

Figure 0.8: Comparaison des temps entre la plne pure et avec une initialisation avec la programmation dynamique(mix)